

泥炭のK_o値について

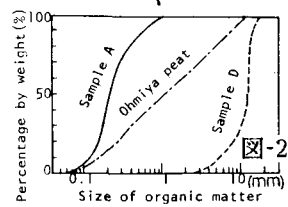
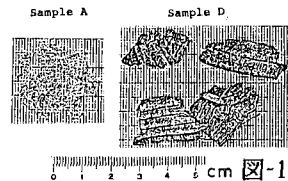
防衛大学校 (学員) ○川野 克典 (正員) 山口 晴幸
(正員) 大平 至徳

1.はじめに 著者ら¹⁾⁻⁴⁾は超軟弱土の典型的な土である泥炭を対象として、各種の試験を実施し、泥炭の土質工学的性質について論じて来た。本報告は、泥炭に加え、それに含まれている纖維性有機物の形状・寸法の効果を鑑み、おがくず及び木片から成る人工試料に関するK_o値の測定結果について記述する。

2. 試料と実験方法 **2.1 試料** 埼玉県大宮市郊外から採取した泥炭(大宮泥炭と呼ぶ)と木工機械の切りくずを利用したおがくず(Sample A)および木片(Sample D)を実験試料として使用した。採取した泥炭は原位置において約10~20kPaの有効土かぶり圧の下で堆積していたもので、自然含水比約800~1000%、有機物含有量Lig=70~80%と高含水比の纖維性高有機質土であった。K_o値の測定に際しては、これに蒸留水を加え 約1500%の含水比に調整し泥水に近い状態から圧密荷重の載荷を開始した。また図-1に示すように、ふるいにより粒径調整したSample Aは最大粒径0.84mmの球形粒子、Sample Dは最大粒径19.1mmの角形板状粒子から成る。図-2に両人工試料と泥炭試料の有機物の粒径加積曲線を示している。

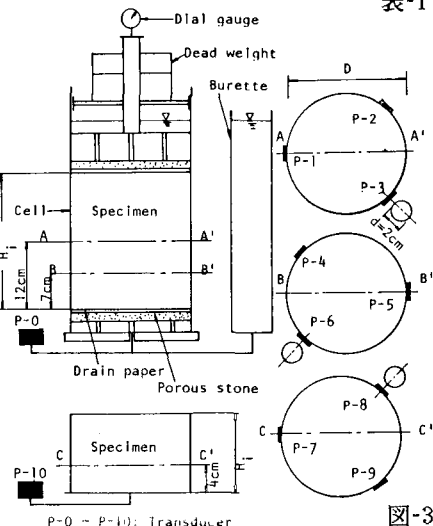
2.2 実験方法 土圧計と間隙水圧計を取り付けた直径(D)約165mmの円筒型アクリルセルに試料を入れ、重りによって鉛直応力(σ_v)を載荷し、水平土圧(σ_h)、間隙水圧(u)及び鉛直沈下量を測定し、鉛直有効応力(σ_v')に対する水平有効応力(σ_h')の比(σ_h' / σ_v')を求め、鉛直応力の載荷~除荷過程でのK_o値の変化及び σ_h' / σ_v' の経時変化について計測した。図-3は装置の概略を表-1は各試料の初期状態を示している。泥炭では供試体の初期高さ $H_i \approx 240\text{mm}$ とし、供試体底部より70mmと120mmの位置でそれぞれ間隙水圧と 水平土圧の測定を実施した。人工試料では $H_i \approx 120\text{mm}$ とし底部より40mmの位置で計測した。図中のP-0,1,6,7,10は水圧計、他は土圧計である。計器の受圧面の直径(d)は20mmで、精度は0.1kPaである。

3. 実験結果と考察 水圧計P-0とP-10で供試体底端部での間隙水圧を計測しながら、一荷重段階での鉛直荷重載荷期間を約10~14日として鉛直荷重を累積載荷および除荷した場合の結果を図-4~8に示してある。図-4と5は泥炭についての各荷重段階での最終経過時間(平衡時)におけるP-2とP-5での水平応力(σ_h)とP-1とP-6での間隙水圧(u)を鉛直応力(σ_v)との関係で、また図-6~8は三種類の供試体についての鉛直ひずみ(ϵ_v)と水平と鉛直方向との有効応力比(σ_h' / σ_v')の経時変化の代表例を示したものである。図-4と5から明

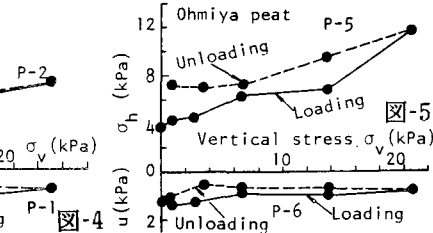


Sample	Ohmiya peat	Sample A (Sawdust)	Sample D (Chip)
Initial height H_i (mm)	242.6	113.9	124.5
Diameter D (mm)	166.3	165.6	165.6
Initial water content w_i (%)	1413	488	897
Ignition loss Lig (%)	72.1	99.5	98.8
Specific gravity G_s	1.65	1.49	1.44

表-1



P-0 ~ P-10: transducer



らかなように、泥炭では鉛直応力(σ_v)の増減に伴う水平応力(σ_h)の増減は小さく、図-6に示されているように、圧縮($\sigma_v > 10$ kPa)下では荷重載荷後の10~14日経過時での有効応力比 $K_0 = \sigma_h' / \sigma_v'$ の値は0.2~0.3付近にある。これに対して、Sample AとDの人工供試体では、圧密過程での σ_h' / σ_v' 値の時間依存性はほとんど認められないが、おがくずであるSample Aの $K_0 = \sigma_h' / \sigma_v'$ 値は泥炭とほぼ等しく0.2付近、形状寸法の大きな木片粒子から成るSample Dではこれより小さく0.15~0.2付近にある。そこで、荷重載荷及び除荷後10~14日経過時の $K_0 = \sigma_h' / \sigma_v'$ を σ_v' との関係で整理したのが図-9~12で、鉛直ひずみ量を示したのが図-13である。多少ばらつきはあるが、いずれの試料においても圧縮下の $\sigma_v' < 10$ kPaでは σ_v' の増加に伴って K_0 値は減少する傾向にあるが、 $\sigma_v' > 10$ kPaではほぼ定値を示している。また除荷荷重の増大に伴って K_0 値は増し、図-13に示すように、過圧密比(OCR)とlog-log面上で直線的傾向にあり、無機質

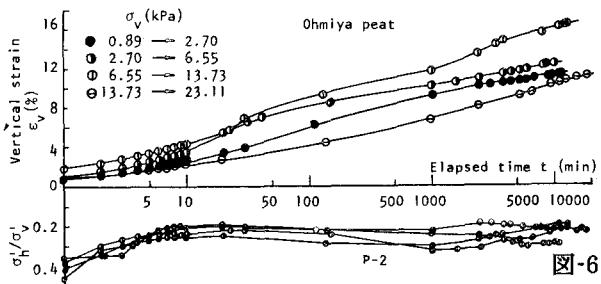


図-6

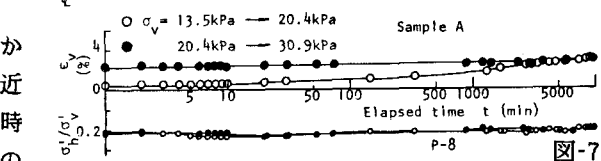


図-7

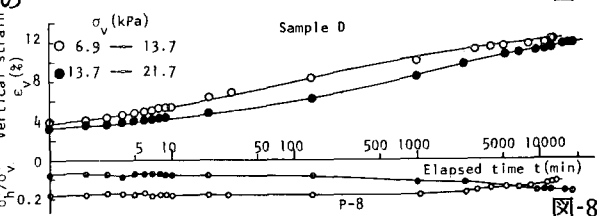


図-8

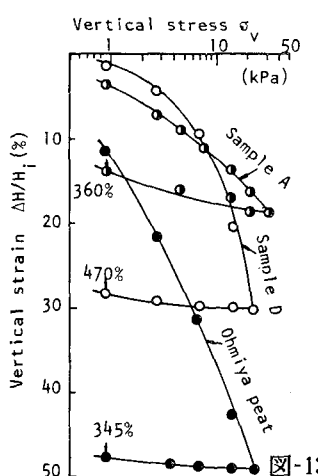


図-13

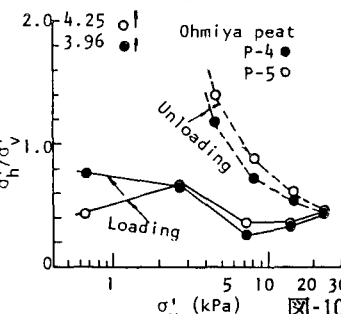


図-10

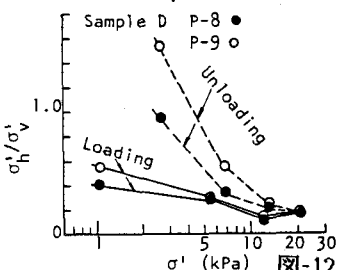


図-12

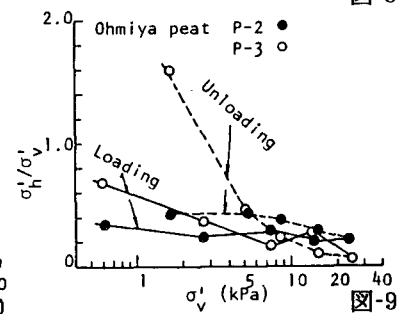


図-9

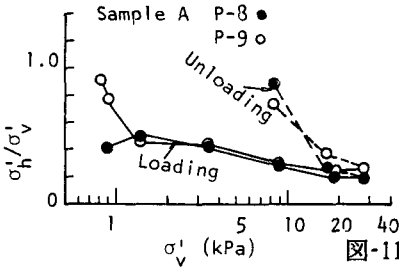


図-11

粘土についての経験式⁵⁾ $(K_0)_{oc} = (K_0)_{nc}(OCR)^{\lambda}$ として表示できる。また $(K_0)_{nc} = 1 - \sin \phi'$ から泥炭($\phi' = 46.5^\circ$), Sample A($\phi' = 51.6^\circ$), Sample D($\phi' = 77.8^\circ$)について $(K_0)_{nc}$ を求めるとき $0.27, 0.21, 0.022$ であり、前者2つの試料での値は $\sigma_v' = 10\sim30$ kPa範囲での K_0 の測定値にかなり近い。(参文) 1)山口ら(1985): 土木学会論文集, Vol.358, PP.119~128 2)山口ら(1985): 同上, Vol.364, pp.189~198 3)H.Yamaguchi et al.(1985)S&F, Vol.25, No.3, PP.1~18 4)山口ら(1986): 泥炭に関する研究討論会論文集(北海道支部) 5)Alpan(1967): S&F, Vol.7, No.1, PP.31~40

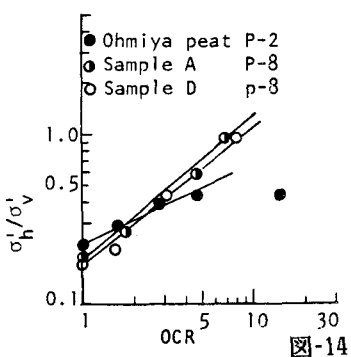


図-14